

基于生物信息学分析探讨 circRNA 在口腔鳞状细胞癌中的调控作用

邱在玲¹, 林雪梅², 吕红兵²

摘要: 目的 通过生物信息学方法和 qRT-PCR 实验筛选并验证口腔鳞状细胞癌(OSCC)中差异表达的环状 RNA(circRNA), 并构建 OSCC 中可能的 circRNA-miRNA-mRNA 调控网络。方法 选取 GEO 数据库中 2 个 OSCC 的 circRNA 高通量数据, 使用 R 软件识别 OSCC 中的差异 circRNA, 对筛选出的 circRNA 取交集后获得候选 circRNA。通过 qRT-PCR 在人口腔黏膜角质细胞系(HOK)和 OSCC 细胞系中验证候选 circRNA 的表达水平。使用 circInteractome 和 circBank 数据库预测 circRNA 下游的 miRNA, 通过 miRDB 和 TargetScan 数据库预测 miRNA 的靶基因。使用 DAVID 在线数据库对靶基因进行 GO 功能和 KEGG 通路富集分析。通过 STRING 数据库和 Cytoscape 软件确定核心基因, 采用 GEPIA 生存分析网站分析其与预后的关系。结果 共筛选出 3 个差异 circRNA、7 个 miRNA 和 2 575 个潜在靶 mRNA。GO 和 KEGG 富集分析表明, 靶基因主要富集在肿瘤相关的通路和生物学过程。基于富集分析、蛋白质相互作用网络图构建和核心基因的生存分析结果, 筛选出 3 个核心基因(EGF、STAT5A 和 LEF1), 从而建立 OSCC 相关的 circRNA-miRNA-核心基因调控网络。结论 本研究为 circRNA 在 OSCC 中的调控机制提供参考, 为 OSCC 的诊断及靶向治疗拓宽思路。

关键词: 口腔鳞状细胞癌; 环状 RNA; miRNA; 生物信息学

文献标志码: A **文章编号:** 1672-4194(2024)01-0026-07

头颈部鳞状细胞癌(head and neck squamous cell carcinoma, HNSC)的发病率在全球恶性肿瘤中排名第 6 位, 每年导致数十万人死亡^[1]。HNSC 的亚型中, 以口腔鳞状细胞癌(oral squamous cell carcinoma, OSCC)最常见, 约占 90%。由于 OSCC 具有很强的侵袭和转移能力, 确诊时常已是中晚期。在过去几十年中, OSCC 的病理生物学机制和治疗方法虽取得一定进展, 但其预后并未得到改善, 复发率仍较高, 5 a 生存率<60%^[2]。因此, 探索 OSCC 发病的分子机制是指导 OSCC 早期诊断和治疗的重点。

环状 RNA(circular RNA, circRNA)是一类通过前体信使 mRNA 反向剪接而形成的缺少 5'末端帽子和 3'末端尾的闭合环状非编码 RNA, 这种独特的闭合结构使 circRNA 对核酸酶更具耐受性, 比线性 RNA 更稳定^[3]。由于 circRNA 的丰富性、保守性、稳定性和普遍性, 且阶段特异性表达于组织器官中, 使其有望成为新的肿瘤诊断标志物, 并为肿瘤的靶向治疗提供新思路^[4-5]。随着 RNA 测序(RNA-seq)和生物信息学分析技术的发展, circRNA 被发现参与包括 OSCC 在内的各类恶性肿瘤的发生和发展, 并参与调节基因的表达和影响肿瘤的生

物学过程^[6-7]。但目前绝大部分 circRNA 在 OSCC 中的生物学作用和调控机制尚不清楚。本研究采用生物信息学方法筛选 OSCC 差异表达的 circRNA, 预测 circRNA 下游的 miRNA 及 mRNA, 为寻找 OSCC 中 circRNA 调控路径及治疗靶点提供一定的研究基础。

1 材料与方法

1.1 主要材料和仪器 人口腔黏膜角质细胞系 HOK(ZQY012, 上海中乔新舟生物公司)、人 OSCC 细胞系 CAL27(CRL-2095)和 SCC9(CRL-1629)(美国 ATCC 细胞库); DMEM/F12 培养基(C11330500BT)和胎牛血清(10099141)(美国 Gibco 公司); 100 U/mL 青霉素和链霉素(15140-122)、Trizol 总 RNA 提取试剂(15596018)(美国 Invitrogen 公司); 逆转录试剂盒(RR047A)和 PCR 试剂盒(RR820A)(日本 Takara 公司); 细胞培养箱(BB5060UV, 德国 Heraeus 公司); 实时荧光定量聚合酶链反应(real-time fluorescent quantitative polymerase chain reaction, qRT-PCR)扩增仪(Light-Cycler® 480, 美国 Roche 公司)。

1.2 方法

1.2.1 数据收集 以“oral squamous cell carcinoma”和“circRNA”为关键词在基因表达数据库(gene expression omnibus, GEO)(<https://www.ncbi.nlm.nih.gov/geo/>)中进行搜索, 选取 2 个数据集(GSE131182 和 GSE221398)进行分析。2 个数据

收稿日期: 2023-12-19

资助项目: 福建省卫生健康青年科研课题资助计划(2021QNA053)

作者单位: 1. 福建省级机关医院口腔中心, 福州 350003;

2. 福建省高校口腔医学重点实验室, 福建医科大学附属口腔医院, 福州 350004

作者简介: 邱在玲, 女, 住院医师, 医学硕士。Email: zailingq530@163.com

集均使用高通量测序技术检测 OSCC 组织和正常组织中 circRNA 的表达量。

1.2.2 筛选差异表达的 circRNA 使用 R 语言中的“limma”包对 2 个数据集中的 circRNA 进行差异分析,以基因表达差异倍数(fold change, FC)变化的对数值 $|\log_2 \text{FC}| > 2$ 且 $P < 0.05$ 为筛选标准。使用“gplot”软件包中的 heatmap 函数功能,绘制 circRNA 的聚类热图,利用“ggplot2”包绘制差异表达 circRNA 的聚类火山图。使用韦恩图(VENNY2.1)将 2 个数据集获得的差异表达 circRNA 取交集后筛选出候选 circRNA。利用 UALCAN 数据库分析 circRNA 宿主基因在肿瘤基因图谱计划(the cancer genome atlas, TCGA)数据库收录的 HNSC 中的表达情况,筛选出与 OSCC 密切相关的潜在的 circRNA 分子。

1.2.3 细胞培养 HOK 细胞和 CAL27 细胞加入 DMEM 培养基中、SCC9 细胞加入 DMEM/F12 培养基中,置于 37 °C、体积分数为 0.05 的 CO₂ 细胞培养箱内培养。培养基均含有 10% 胎牛血清、100 U/mL 青霉素和链霉素。

1.2.4 qRT-PCR 按说明书采用 Trizol 法提取 HOK 细胞和 OSCC 细胞的总 RNA。使用 Prime-ScriptTM RT reagent Kit 试剂盒进行逆转录反应。使用 SYBR[®] Premix Ex Taq[™] II 试剂盒在 qRT-PCR 扩增仪进行分析。PCR 反应体系(20 μL): SYBR Premix Ex Taq II (Tli RNaseH Plus) 10 μL, 上下游引物各 0.4 μL, cDNA 2 μL, 无酶水 7.2 μL。预变性 95 °C 反应 30 s, 扩增条件为 95 °C 反应 5 s、60 °C 反应 30 s, 重复 40 个循环。引物由生工生物工程(上海)有限公司合成(表 1), 表达水平根据内参 GAPDH 进行标准化, 采用 $2^{-\Delta\Delta C_t}$ 法进行基因相对表达量分析, 以 3 个独立重复孔的测量结果进行统计。

表 1 实时荧光定量 PCR 引物序列

Tab. 1 Primer sequence used in real-time PCR assay

基因名称	引物序列(5'-3')
hsa_circ_0004390	F: TGGCCTTCCTCATCATGGTT R: TGTCCTGTCAGTCATCGA
hsa_circ_0001580	F: GCAAAACGAACCTAGTCCC R: TTGCTTCTTCTTCGCCTGC
hsa_circ_0008285	F: GCTGTTAACGGAAAGGTTGA R: TCTCCTCTGCTTCTCCGTG
GAPDH	F: GGGAAACTGTGGCGTGAT R: GAGTGGGTGTCGCTGTTGA

1.2.5 circRNA 结合 miRNA 及下游靶基因的预测 使用 circInteractome 和 circBank 数据库预测候选 circRNA 的潜在靶向 miRNA, 并利用韦恩图筛选出 2 个数据库可同时预测到的 miRNA。通过 miRDB 和 TargetScan 数据库预测 miRNA 的下游靶基因, 把 2 个数据库均能预测到的靶基因定为 miRNA 的靶 mRNA。

1.2.6 GO 和 KEGG 富集分析 使用 DAVID 在线分析工具对靶基因进行基因本体论(gene ontology, GO)功能富集分析和京都基因与基因组百科全书(Kyoto encyclopedia of genes and genomes, KEGG)通路富集分析。其中, GO 分析包括生物学过程(biological process, BP)、细胞组分(cellular component, CC)和分子功能(molecular function, MF)。使用 R 软件中“ggplot2”包对数据进行可视化。

1.2.7 靶基因蛋白质相互作用(protein-protein interaction, PPI)网络构建及 OSCC 核心基因筛选

采用 STRING 数据库对靶基因进行 PPI 关系预测, 并将输出的数据导入 Cytoscape 软件, 利用 cytohubba 插件筛选 PPI 网络中节点度排名前 10 位的核心基因, 并进行可视化。将 10 个核心基因输入 GEPIA 数据库, 分析核心基因与 HNSC 患者预后的关系。

1.3 统计学处理 采用 SPSS 26.0 软件进行统计分析, 计量资料采用 $\bar{x} \pm S$ 表示。2 组间比较采用 *t* 检验。双侧检验, $P < 0.05$ 为差别有统计学意义。

2 结 果

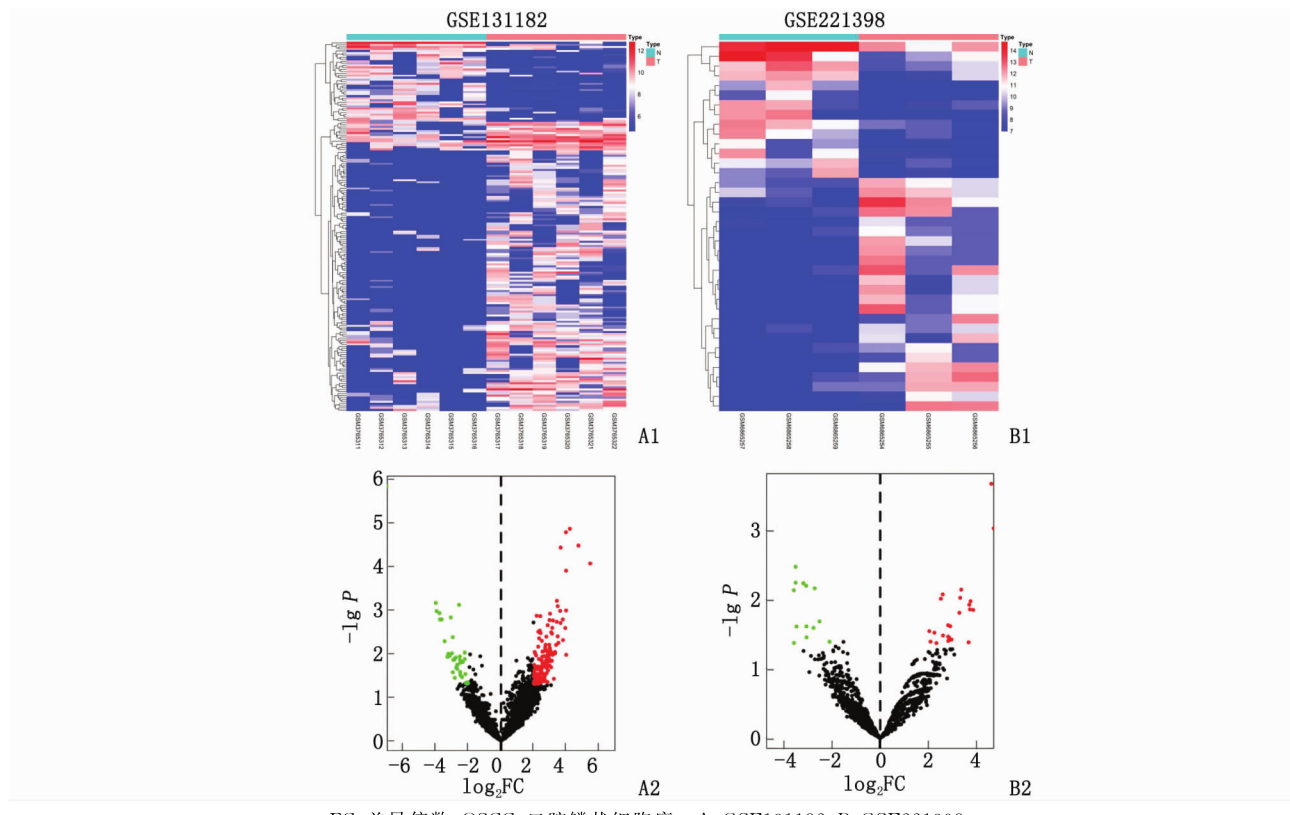
2.1 OSCC 中差异表达 circRNA 的鉴定

GSE131182 和 GSE221398 数据集分别筛选出 180 个(上调 141 个, 下调 39 个)和 38 个(上调 24 个, 下调 14 个)差异表达的 circRNA。通过绘制热图(红色区域: 相对高表达量的 circRNA; 蓝色区域: 相对低表达量的 circRNA)和火山图(红色区域: 上调的 circRNA; 绿色区域: 下调的 circRNA)(图 1), 展示 circRNA 在 OSCC 中的差异性表达特征。

2.2 确定候选 circRNA 通过韦恩图将 2 个数据集筛选出的差异表达 circRNA 取交集, 获得 4 个 circRNA, 其中 3 个(hsa_circ_0004390、hsa_circ_0001580 和 hsa_circ_0008285)被 circBase 收录, 作为候选 circRNA。在 TCGA 数据库收录的 HNSC 患者的癌组织和正常组织中, 利用 UALCAN 数据库对上述 3 个 circRNA 的宿主基因 LPAR3、KDM1B 和 CDYL 的表达量进行分析, 结

结果显示,3个基因在 HNSC 患者的癌组织和正常组织中均存在差异性表达(图 2)。进一步使用qRT-PCR 在 CAL27、SCC9 和 HOK 细胞中进行验证,结果显示,

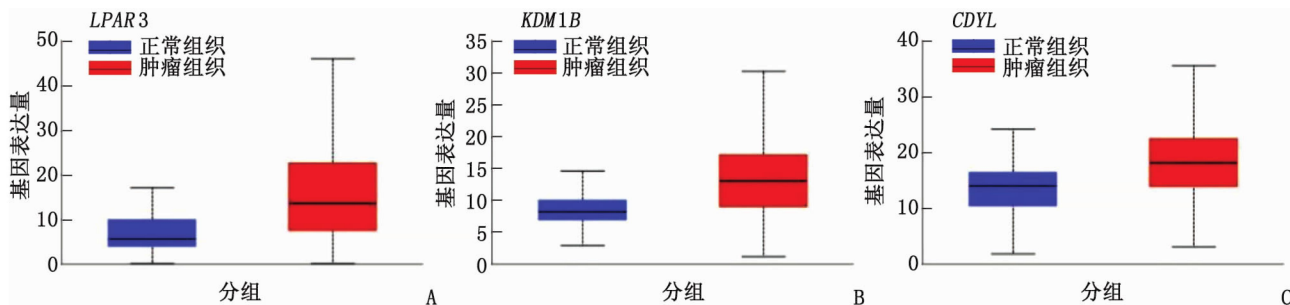
与 HOK 细胞比较,3 个 circRNA 在 CAL27 和 SCC9 细胞中的表达均增高,差别有统计学意义 ($P<0.05$,图 3)。



FC: 差异倍数; OSCC: 口腔鳞状细胞癌。A: GSE131182; B: GSE221398。

图 1 OSCC 中差异性表达 circRNA 的聚类热图和火山图

Fig. 1 Clustering heat maps and volcano plots of the differentially expressed circRNA in OSCC



HNSC: 头颈部鳞状细胞癌。正常组织 44 例, 肿瘤组织 250 例。A: $LPAR3(P=1.62\times 10^{-12})$; B: $KDM1B(P=1.62\times 10^{-12})$; C: $CDYL(P=7.05\times 10^{-10})$ 。

图 2 使用 UALCAN 检测 HNSC 中候选 circRNA 宿主基因的表达水平

Fig. 2 Expression levels of parent gene of candidate circRNA in HNSC as assessed using UALCAN

2.3 OSCC 相关 circRNA 调控的靶基因 GO 和 KEGG 富集分析 通过生物信息学分析预测 *hsa_circ_0004390*、*hsa_circ_0001580* 和 *hsa_circ_0008285* 结合的 miRNA 有 7 个 (*hsa-miR-548p*、*hsa-miR-643*、*hsa-miR-330-3p*、*hsa-miR-384*、*hsa-miR-615-5p*、*hsa-miR-647* 和 *hsa-miR-892a*) , 下游靶基因 2 575 个, 通过 DAVID 进行 GO 和 KEGG 富集分析(图 4)。GO 功能注释的结果显示,这些基因主要参与的生物过程包括 RNA 聚合

酶 II 启动子的转录调控、转录的正调控、DNA 模板、蛋白质多泛素化等;定位细胞成分包括核质、细胞核、胞质溶胶、染色质、细胞质等;以及参与相关分子功能,包括蛋白质结合、泛素蛋白转移酶活性、转录因子活性、序列特异性 DNA 结合、染色质结合等。KEGG 通路分析显示,靶基因富集在多个癌症相关通路,如泛素介导的蛋白水解、钙信号通路、MAPK 信号通路、癌症的转录失调、Hedgehog 信号通路、cAMP 信号通路和癌症通路等。

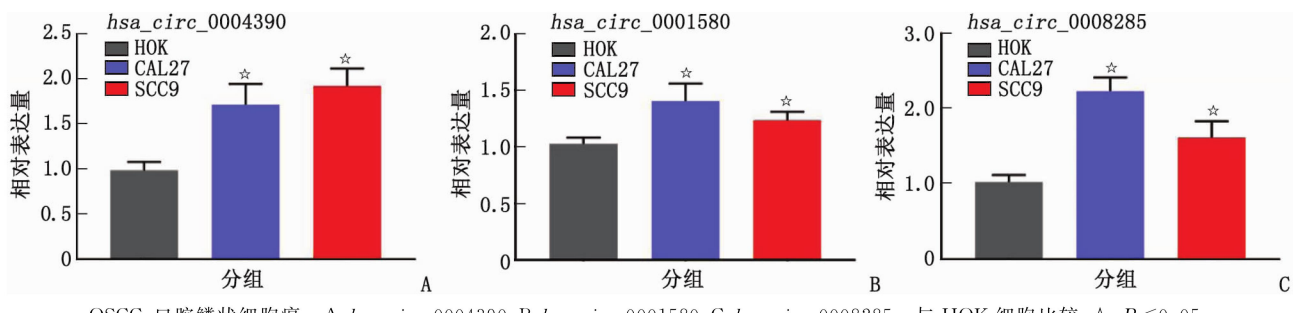


图 3 使用 qRT-PCR 检测 HOK 和 OSCC 细胞系中候选 circRNA 的表达水平

Fig. 3 Expression levels of the candidate circRNA in HOK and OSCC cell lines as assessed using qRT-PCR

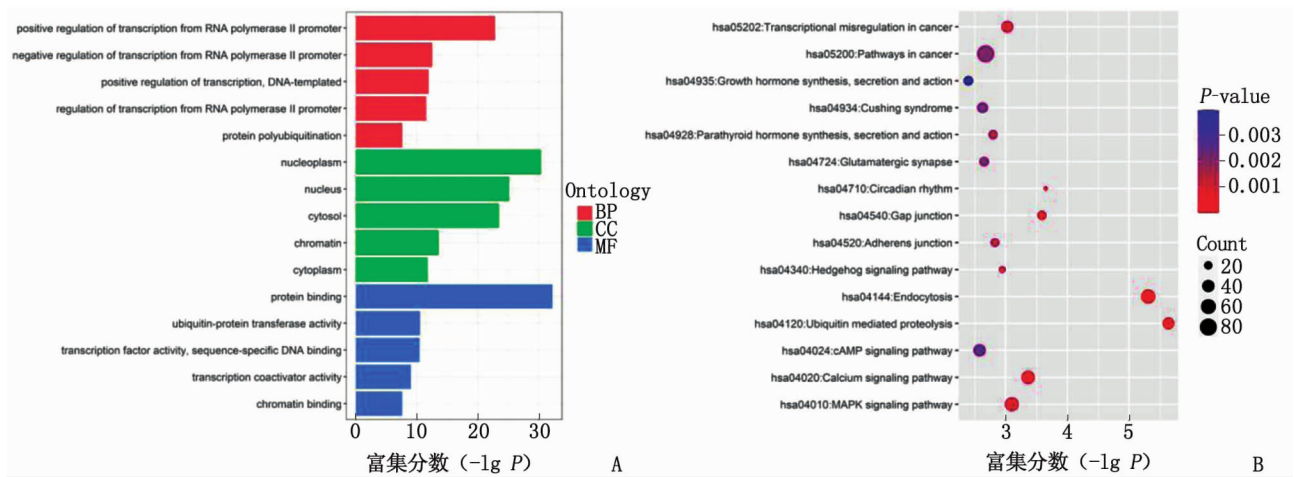


图 4 候选 circRNA 调控靶基因的富集分析结果

Fig. 4 Enrichment analysis results of candidate circRNA-related target mRNAs

2.4 OSCC 核心基因筛选及预后分析 KEGG 通路分析结果显示,癌症通路(hsa05200)上富集的基因最多,其与候选 circRNA 和 miRNA 的关系如表 2 所示。将此通路富集的 83 个基因输入 STRING 数据库进行 PPI 网络分析,数据导入 Cytoscape 计算网络及各个节点的拓扑特性, mRNA 编码的 83 个蛋白质中,82 个之间有相互作用,相互作用关系共 531 个,平均每个蛋白质可以与 12.8 个蛋白质产生作用,整个网络的相互作用关系显著性为 $P < 1.0 \times 10^{-16}$,表明这些蛋白质之间有紧密的相互作用关系。网络中连接度高的节点对网络的稳定性起重要作用,节点越大、颜色越深,则节点度越大(图 5),最内圈即为节点度排位 1~10 的核心基因(*CTNNB1*、*HIF1A*、*EGF*、*FOXO1*、*FN1*、*PIK3R1*、*CREBBP*、*STAT5A*、*LEF1* 和 *SMAD2*),它们在 OSCC 的发生、发展过程中可能具有重要功能。将核心基因输入 GEPIA 数据库,结果显示,3 个核心基因(*EGF*、*STAT5A* 和 *LEF1*)与 HNSC 患者的总生存率相关($P < 0.05$)。

3 讨 论

随着医学的发展,OSCC 的诊疗技术虽不断提高,但 OSCC 患者的总生存率并未得到明显改善。因此,系统研究调控 OSCC 进展的分子机制显得尤为重要。大量数据表明,circRNA 的异常表达与肿瘤的发生发展机制密切相关,能够通过 miRNA 应答元件(miRNA response element, MRE)与 mRNA 竞争性结合 miRNA,从而调控下游基因的表达和功能^[8]。研究发现,多个 circRNA 可以通过“circRNA-miRNA-mRNA”轴调控 OSCC 的发生发展^[9]。但 circRNA 在 OSCC 肿瘤信号通路中更加具体和特质性的机制研究仍较少,如何运用 circRNA 的生物学功能治疗和诊断 OSCC 仍需深入研究。

本研究利用生物信息学分析筛选出 3 个差异表达的 circRNA,即 *hsa_circ_0004390*、*hsa_circ_0001580* 和 *hsa_circ_0008285*,并通过 qRT-PCR 验证了这 3 个 circRNA 在 OSCC 细胞系中高表达,它们的宿主基因 *LPAR3*、*KDM1B* 和 *CDYL* 在 TCGA

表 2 circRNA-miRNA-mRNA 靶向关系预测结果

Tab. 2 Prediction result of circRNA-miRNA-mRNA targeting relationship

circRNA	miRNA	靶基因
<i>hsa_circ_0004390</i>	<i>hsa-miR-548p</i>	<i>WNT2B</i> 、 <i>ETS1</i> 、 <i>CASP8</i> 、 <i>FGF9</i> 、 <i>PIM2</i> 、 <i>PRKACB</i> 、 <i>NKX3-1</i> 、 <i>NCOA3</i> 、 <i>ARNTL2</i> 、 <i>MITF</i> 、 <i>PRKCA</i> 、 <i>RUNX1T1</i> 、 <i>COL4A4</i> 、 <i>PPARD</i> 、 <i>CEBPA</i> 、 <i>CTBP2</i> 、 <i>LEF1</i> 、 <i>CACUL1</i> 、 <i>GNAI3</i> 、 <i>PIK3R1</i> 、 <i>STK4</i> 、 <i>CBL</i> 、 <i>LRP6</i> 、 <i>MAPK8</i> 、 <i>VHL</i> 、 <i>SMAD2</i> 、 <i>TCF7L2</i> 、 <i>CDK6</i> 、 <i>VEGFA</i> 、 <i>SP1</i> 、 <i>FGFR2</i> 、 <i>FGFR1</i>
	<i>hsa-miR-643</i>	<i>RB1</i> 、 <i>RAF1</i> 、 <i>CTBP2</i>
<i>hsa_circ_0001580</i>	<i>hsa-miR-330-3p</i>	<i>CCND3</i> 、 <i>IL13RA1</i> 、 <i>APPL1</i> 、 <i>MMP2</i> 、 <i>RUNX1</i> 、 <i>CRK</i> 、 <i>SOS2</i> 、 <i>RALA</i> 、 <i>CRISPLD1</i> 、 <i>HIF1A</i> 、 <i>FOXO1</i> 、 <i>GNA13</i> 、 <i>FZD3</i> 、 <i>CREBBP</i> 、 <i>CTNNB1</i> 、 <i>FGFR1</i>
<i>hsa_circ_0008285</i>	<i>hsa-miR-384</i>	<i>ADARB1</i> 、 <i>LAMC1</i> 、 <i>SKP2</i> 、 <i>PRKACB</i> 、 <i>ARNT2</i> 、 <i>CCNE2</i> 、 <i>PTGER2</i> 、 <i>LPAR1</i> 、 <i>FZD5</i> 、 <i>FGFR1</i>
	<i>hsa-miR-615-5p</i>	<i>APC2</i> 、 <i>TPM3</i> 、 <i>MMP24</i> 、 <i>TGFBR2</i> 、 <i>TRAF4</i> 、 <i>LPAR1</i> 、 <i>FN1</i>
	<i>hsa-miR-647</i>	<i>CCND2</i> 、 <i>IKBKG</i> 、 <i>APC2</i> 、 <i>NCOA1</i> 、 <i>DAPK3</i> 、 <i>ARNT</i> 、 <i>IFNG</i> 、 <i>CUL1</i> 、 <i>PLD1</i> 、 <i>CAMK2G</i> 、 <i>STAT5A</i> 、 <i>GADD45A</i> 、 <i>FN1</i> 、 <i>PML</i> 、 <i>EGF</i> 、 <i>KITLG</i> 、 <i>IL-5</i>
	<i>hsa-miR-892a</i>	<i>RET</i> 、 <i>CRKL</i> 、 <i>PLCB4</i> 、 <i>ADCY9</i> 、 <i>RARB</i> 、 <i>ADCY2</i> 、 <i>RASGRP3</i> 、 <i>MLH1</i> 、 <i>IL-7R</i>

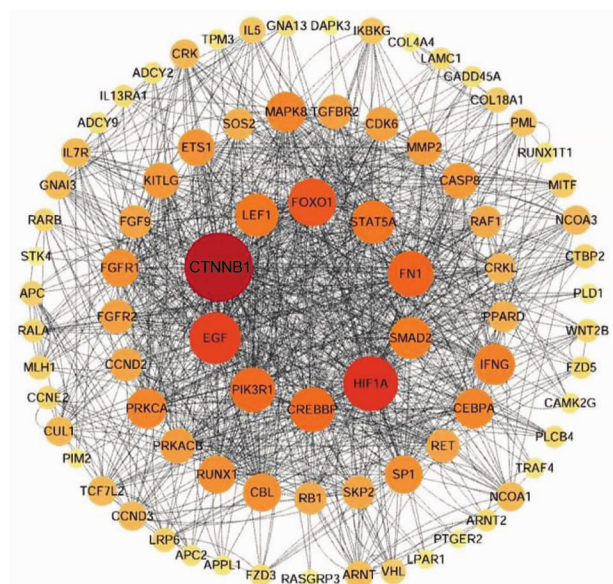


图 5 候选 circRNA 相关靶基因的蛋白质相互作用网络图

Fig. 5 The protein-protein interaction network diagram of candidate circRNA-related target genes

收集的 HNSC 样本中也显示差异表达,表明分别由 *LPAR3*、*KDM1B* 和 *CDYL* 生成的 *hsa_circ_0004390*、*hsa_circ_0001580* 和 *hsa_circ_0008285* 可能参与了 OSCC 的生物学进程。研究发现, *circKDM1B* (*hsa_circ_0001580*) 通过调节 *miR-1322/PRC1* 轴促进肝细胞癌进展^[10]。*circCDYL* (*hsa_circ_0008285*) 可能通过 *miR-190a-3p* 上调 *TP53INP1* 基因的表达,促进乳腺癌恶性表型细胞凋亡并抑制其增殖^[11]。*circLPAR3* (*hsa_circ_0004390*) 可通过结合 *miR-375/miR-433* 促进 *HMGB1* 的表达,从而在食管鳞状细胞癌中发挥致癌作用^[12]。本研究则通过生物信息学分析揭示候选 circRNA 在 OSCC 中潜在的调控机制。

通过数据库预测 *hsa_circ_0004390*、*hsa_circ_0001580* 和 *hsa_circ_0008285* 结合的 miRNA 以及 miRNA 下游的靶 mRNA,共筛选出 7 个 miRNA、2 575 个 mRNA。GO 和 KEGG 富集分析结果显示,靶基因在肿瘤相关的生物学功能和通路中明显富集。将富集在癌症通路的 83 个基因构建 PPI 调控网络图,筛选出 10 个核心基因。研究发现,这 10 个基因均参与 OSCC 生物学功能的调控。生存分析结果显示,*EGF*、*STAT5A* 和 *LEF1* 对 HNSC 患者的总生存率有影响。*EGF* 表达增加可促进 OSCC 细胞的增殖、迁移和侵袭等恶性生物学行为^[13-14]。*STAT5A* 在正常组织中不表达,在 OSCC 组织中的表达相比于癌前病变组织增加,可作为 OSCC 早期诊断的标志物和药物干预靶点^[15]。*LEF1* 是一种参与 Wnt β -catenin 通路的重要转录因子,过表达可促进 OSCC 细胞的增殖,并抑制细胞凋亡^[16]。*EGF* 和 *STAT5A* 对应的上游 miRNA 和 circRNA 为 *hsa-miR-647* 和 *hsa_circ_0008285*,*LEF1* 对应 *hsa-miR-548p* 和 *hsa_circ_0004390*。本研究中 *hsa_circ_0008285* 和 *hsa_circ_0004390* 在 2 个数据集的癌组织以及 OSCC 细胞系中表达均上调,与以上 3 个核心基因的研究结果相符。*hsa-miR-647* 和 *hsa-miR-548p* 在多种肿瘤中异常表达,与恶性细胞的增殖、迁移和侵袭等密切相关^[17-18]。因此,笔者推测,*hsa_circ_0008285/hsa-miR-647/EGF*、*hsa_circ_0008285/hsa-miR-647/STAT5A* 和 *hsa_circ_0004390/hsa-miR-548p/LEF1* 为 3 条可能的调控途径,为 circRNA 调控 OSCC 发生、发展的分子机制提供新的研究方向,从而为 OSCC 的早期诊断寻找新的分子标志物或治疗靶点。然而,本研究只是基于生物

信息学分析得到的结果,还需进一步收集大量的临床样本,并通过一系列动物、细胞学及分子生物学实验进行验证。

参考文献:

- [1] LIU Z L,MENG X Y,BAO R J,et al. Single cell deciphering of progression trajectories of the tumor ecosystem in head and neck cancer[J]. Nat Commun,2024,15(1):2595.
- [2] ALKHADAR H,MACLUSKEY M,WHITE S,et al. Comparison of machine learning algorithms for the prediction of five-year survival in oral squamous cell carcinoma[J]. J Oral Pathol Med,2021,50(4):378-384.
- [3] ASHWAL-FLUSS R,MEYER M,PAMUDURTI N R,et al. circRNA biogenesis competes with pre-mRNA splicing [J]. Mol Cell,2014,56(1):55-66.
- [4] MEMCZAK S,JENS M,ELEFSINIOU A,et al. Circular RNAs are a large class of animal RNAs with regulatory potency[J]. Nature,2013,495(7441):333-338.
- [5] GUARNERIO J,ZHANG Y,CHELONI G,et al. Intragenic antagonistic roles of protein and circRNA in tumorigenesis[J]. Cell Res,2019,29(8):628-640.
- [6] LI H S,FENG H R,ZHANG T,et al. CircHAS2 activates CCNE2 to promote cell proliferation and sensitizes the response of colorectal cancer to anlotinib [J]. Mol Cancer,2024,23(1):59.
- [7] LI X,WANG C X,ZHANG H,et al. CircFNDC3B accelerates vasculature formation and metastasis in oral squamous cell carcinoma[J]. Cancer Res,2023,83(9):1459-1475.
- [8] HANSEN T B,JENSEN T I,CLAUSEN B H,et al. Natural RNA circles function as efficient microRNA sponges [J]. Nature,2013,495(7441):384-388.
- [9] ATTAR R,NOEL K,ROMERO M A,et al. Regulatory role of circular RNAs in oral squamous cell carcinoma[J]. Cell Mol Biol (Noisy-le-grand),2023,69(8):250-257.
- [10] YI M,LHU S M,HE Y,et al. CircKDM1B promotes hepatocellular carcinoma progression through regulating miR-1322/PRC1 axis[J]. Environ Toxicol,2023,38(8):2031-2040.
- [11] WANG S H,LIU F X,MA H,et al. CircCDYL acts as a tumor suppressor in triple negative breast cancer by sponging miR-190a-3p and upregulating TP53INP1[J]. Clin Breast Cancer,2020,20(5):422-430.
- [12] CHENG H Z,JIANG W,SONG Z J,et al. Circular RNA circCLPAR3 facilitates esophageal squamous cell carcinoma progression through upregulating HMGB1 via sponging miR-375/miR-433[J]. Onco Targets Ther,2020,13:7759-7771.
- [13] HAQUE A S M R,MORIYAMA M,KUBOTA K,et al. CD206⁺ tumor-associated macrophages promote proliferation and invasion in oral squamous cell carcinoma via EGF production[J]. Sci Rep,2019,9(1):14611.
- [14] XIE H,MA Y D,LI J,et al. WNT7A promotes EGF-induced migration of oral squamous cell carcinoma cells by activating β -Catenin/MMP9-mediated signaling[J]. Front Pharmacol,2020,11:98.
- [15] KAR P,SUPAKAR P C. Expression of STAT5A in tobacco chewing-mediated oral squamous cell carcinoma[J]. Cancer Lett,2006,240(2):306-311.
- [16] HOU Y M,YU W Q,WU G Y,et al. Carcinogenesis promotion in oral squamous cell carcinoma: KDM4A complex-mediated gene transcriptional suppression by LEF1[J]. Cell Death Dis,2023,14(8):510.
- [17] YE G T,HUANG K Z,YU J,et al. MicroRNA-647 targets SRF-MYH9 axis to suppress invasion and metastasis of gastric cancer[J]. Theranostics,2017,7(13):3338-3353.
- [18] HU X M,YAN X H,HU Y W,et al. MiRNA-548p suppresses hepatitis B virus X protein associated hepatocellular carcinoma by downregulating oncoprotein hepatitis B X-interacting protein[J]. Hepatol Res,2016,46(8):804-815.

Exploring the Regulatory Role of circRNA in Oral Squamous Cell Carcinoma Based on Bioinformatic Analysis

QIU Zailing¹, LIN Xuemei², LÜ Hongbing²

1. Oral Center, Fujian Provincial Governmental Hospital, Fuzhou 350003, China;

2. Stomatological Key Laboratory of Fujian College and University, School and Hospital of Stomatology,

Fujian Medical University, Fuzhou 350004, China

ABSTRACT: Objective To identify differentially circRNA in oral squamous cell carcinoma (OSCC) using bioinformatics and qRT-PCR, and to investigate the role of the circRNA-miRNA-mRNA regulatory network in OSCC. Methods Two circRNA expression datasets of OSCC were acquired from the gene expression omnibus (GEO) database. Then, differentially expressed circRNA in OSCC were screened using R software. The candidate circRNA were obtained by intersecting the screened circRNA. The expression levels of the candidate circRNA were validated in human oral keratinocyte (HOK) and OSCC

(下转第 36 页)